

RŪPNIECĪBAS IELA

DZELZCEĻA IELA



K2

M_V 1 : 100

M_H 1 : 500

Projektētās vada teknes atzīmes, m	89.27		89.22		89.12		89.06		90.18		90.22		90.28		90.34		90.45		90.52		90.59		91.56		91.74		91.93	
Projektētās virsmas atzīmes, m			91.82		92.00		92.09		92.17		92.30		92.45		92.86		93.19		93.25		93.28		93.49		93.72		93.72	
Esošās zemes virsmas atzīmes, m	91.79		91.93		91.97		92.08		92.21		92.36		92.47		92.90		93.16		93.28		93.61		93.69		93.69		93.69	
Caurules materiāls, izmērs			PP DN315 SN8						PP DN315 SN8										PP DN250 SN8									
Pamatne	Iztīdzinošā kārtā - 150 mm sablīvēta smiltis																											
Slīpums	-0.3%														0.3%													
Posma garums			69.4m						135.6m												90.6m							
Attālumi, m			16.0		35.5		17.9		13.2		19.6		20.9		37.4		22.1		22.4		43.6		47.0		90.6m			
Akas Nr.	K2-12		K2-11		K2-10		K2-1		K2-2		K2-3		K2-4		K2-5		K2-6		K2-7		K2-8		K2-9					
Akas diametrs, mm	DN1000		DN1000		DN1000		DN1500		DN1000		DN1500		DN1000		DN1000		DN1000		DN1000		DN1000		DN1000		DN1000		DN1000	
Pārkrīzumaka																												

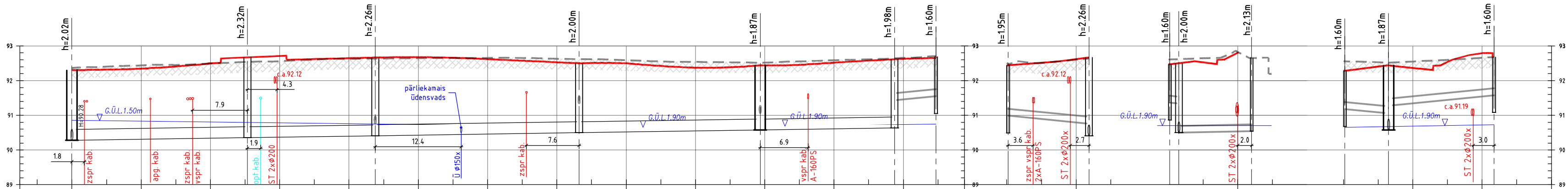
PIEZĪMES:
1) " x " dotie dati jāprecizē pirms būvdarbu uzsākšanas
2) pieņemtais esošo komunikāciju iebūves dziļums (no zemes virsmas):
kabeļi - 0.8-1.1m
ūdensvads - 1.8m
3) Pirms būvdarbu uzsākšanas precizēt pārliekamā ūdensvada iebūves dziļumu.
4) Ģeoloģisko urbumu dati uzrādīti 1. sējumā ģeotehniskās izpētes sadaļā.

						4.
						3.
						2.
						1.
Izstrādāja	Pārbaudīja	Apstiprināja	Datums	Izmaiņu saturs		Izmaiņu Nr.
<div>Projektētājs</div> <div></div> <div>PRO VIA, Antonijas 18, Rīga, Latvija tel.+371 67332236 provia@provia.lv</div>			Pasūtītājs  LĪVĀNU NOVADA DOME		Pasūtījums Nr.LND/5-44.3/12/493	
			Būvprojekts Dzelzceļa ielas (posmā no Rīgas ielas līdz Dzelzceļa ielai 21) un Rūpniecības ielas rekonstrukcija, Līvānos, Līvānu novadā			
Amats	Vārds, uzvārds	Paraksts	Datums	Rasējums GARENPROFILS AKAS K2-1 LĪDZ K2-12 (Rūpniecības iela , Dzelzceļa iela gar dzelzceļu)	Stadija	Marka un numurs
Būvprojekta sadaļas vadītājs	A.Gaile		19.04.2013.		TP	LKT-3/1
	A.Reke		19.04.2013.		Mērogs	1:500/1:100
Izstrādāja	A.Gaile		19.04.2013.		Arhīva Nr.	

K2

M_v 1 : 100



M_H 1 : 500



Projektētās vada teknes atzīmes, m	90.28	90.35	90.41	90.50	90.58	90.63	91.44	91.55	90.99	90.76	90.41	91.36	91.34	90.50	90.54	91.18	91.07	90.58	91.28	91.58		
Projektētās virsmas atzīmes, m	92.30	92.67	92.67	92.50	92.44	92.61	92.65		92.44	92.67		92.46	92.50			92.28	92.44					
Esošās zemes virsmas atzīmes, m	92.36	92.54	92.63	92.62	92.51	92.64	92.71		92.44	92.63		92.60	92.62		92.67	92.56	92.51			92.68		
Caurules materiāls, izmērs	PP DN315 SN8							PP DN200 SN8		PP DN200 SN8		PP DN250 SN8		PP DN200 SN8								
Pamatne	Iztīdzinošā kārtā - 150 mm sablīvēta smiltis									Iztīdzinošā kārtā - 150 mm sablīvēta smiltis												
Slīpums	0.3%										2.0%		-2.0%		2.0%		2.0%		2.0%			
Posma garums	118.4					5.6		11.3		1.0		10.5		5.7		14.6						
Attālumi, m	24.7	18.4	29.4	26.1	19.4	5.6		11.3		1.0	10.5		5.7	14.6								
Akas Nr.	K2-3	K2-13	K2-14	K2-15	K2-16	K2-17	G-17A	G-14A	K2-14	G-15A	K2-15	K2-15A	K2-6	G-16A	K2-16		G-16B					
Akas diametrs, mm	DN1500	DN1000	DN1000	DN1000	DN1500	DN1000	DN400	DN400	DN1000	DN400	DN1000	DN400	DN1000	DN400	DN1500		DN400					

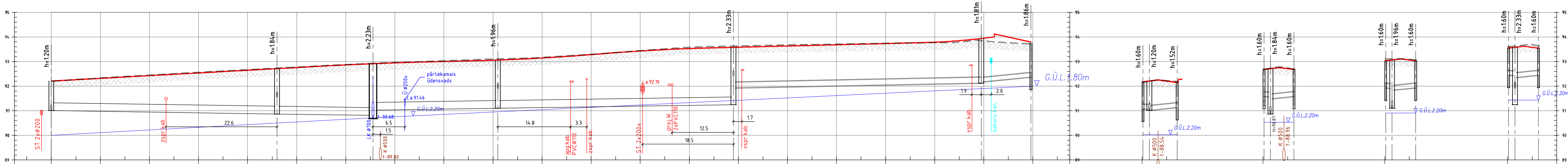
PIEZĪMES:

- 1) " x " dotie dati jāprecizē pirms būvdarbu uzsākšanas
- 2) pieņemtais esošo komunikāciju iebūves dziļums (no zemes virsmas):
kabeļi - 0.8-1,1m
ūdensvads - 1.8m
- 3) Pirms būvdarbu uzsākšanas precizēt pārliekamā ūdensvada iebūves dziļumu.
- 4) Ģeoloģisko urbumu dati uzrādīti 1. sējumā ģeotehniskās izpētes sadaļā.

					4.	
					3.	
					2.	
					1.	
Izstrādāja	Pārbaudīja	Apstiprināja	Datums	Izmaiņu saturs	Izmaiņu Nr.	
<div>Projektētājs</div> <div></div> <div>PRO VIA Antonijas 18, Rīga, Latvija tel.+371 67332236 provia@provia.lv</div>			Pasūtītājs <div></div> LĪVĀNU NOVADA DOME		Pasūtītjums Nr.LND/5-44.3/12/493	
			BūvprojektsDzelzceļa ielas (posmā no Rīgas ielas līdz Dzelzceļa ielai 21) un Rūpniecības ielas rekonstrukcija, Līvānos, Līvānu novadā			
Amats	Vārds, uzvārds	Paraksts	Datums	Rasējums <div>GARENPROFILS AKAS K2-13 LĪDZ K2-17 (Dzelzceļa iela gar autoostu)</div>	Stadija	Marka un numurs
Būvprojekta sadaļas vadītājs	A.Gaile		19.04.2013.		TP	LKT-4
Izstrādāja	A.Reke		19.04.2013.		Mērogs	1:500/1:100
Pārbaudīja	A.Gaile		19.04.2013.		Arhīva Nr.	

K2

M_v 1 : 100
M_H 1 : 500



Projektētās teknes atzīmes, m	91.01	90.87	90.81	91.03	91.10	91.25	91.92	92.12	92.17	92.36	91.05	91.07	91.02	91.13	91.56	91.58	91.49	91.58	91.92	91.91	91.10	91.84	91.92	92.44	92.42	91.25	92.35	92.44																																																																																																																																																																																																																																																																																																																																																																																																																																																																																																																																																																																																																																																																																																																																																																																																																																																																																																																																																																																																																																																																																																																																																																																																																																																																																																																																																																																																																																																																																																																																																																																																																																																																																																																																																																																																																																																																																																																																																																																																																																																																																																																																																																																																																																																																																																																																																																																																																																																																																																																																																																																																																																																																																																																																																																																																																																																																																																																																																																																																																																																																																																																																																																																																																																																																																																																																																																																																																																																																																																																																																																																																																																																																																																																																																																																																																																																																																																																																																																																																																																																																																																																																																																																																																																																																																																																																																																																																																																																																																																																																																																																																																																																																																																																																																																																																																																																																																																																																						
Projektētās virsmas atzīmes, m	92.21	92.71	92.92	93.06	93.11	93.58	93.63	93.85	93.93	93.76	92.17	92.21	92.15	92.19	92.68	92.71	92.69	92.68	93.02	93.06	93.02	93.54	93.58	93.54	93.61	93.63	93.58	93.62																																																																																																																																																																																																																																																																																																																																																																																																																																																																																																																																																																																																																																																																																																																																																																																																																																																																																																																																																																																																																																																																																																																																																																																																																																																																																																																																																																																																																																																																																																																																																																																																																																																																																																																																																																																																																																																																																																																																																																																																																																																																																																																																																																																																																																																																																																																																																																																																																																																																																																																																																																																																																																																																																																																																																																																																																																																																																																																																																																																																																																																																																																																																																																																																																																																																																																																																																																																																																																																																																																																																																																																																																																																																																																																																																																																																																																																																																																																																																																																																																																																																																																																																																																																																																																																																																																																																																																																																																																																																																																																																																																																																																																																																																																																																																																																																																																																																																																																																						
Esošās zemes virsmas atzīmes, m	92.21	92.73	92.92	93.11	93.11	93.63	93.63	93.85	93.93	93.76	92.15	92.21	92.19	92.19	92.73	92.69	92.69	92.68	93.09	93.11	93.06	93.61	93.63	93.62	93.61	93.63	93.58	93.62																																																																																																																																																																																																																																																																																																																																																																																																																																																																																																																																																																																																																																																																																																																																																																																																																																																																																																																																																																																																																																																																																																																																																																																																																																																																																																																																																																																																																																																																																																																																																																																																																																																																																																																																																																																																																																																																																																																																																																																																																																																																																																																																																																																																																																																																																																																																																																																																																																																																																																																																																																																																																																																																																																																																																																																																																																																																																																																																																																																																																																																																																																																																																																																																																																																																																																																																																																																																																																																																																																																																																																																																																																																																																																																																																																																																																																																																																																																																																																																																																																																																																																																																																																																																																																																																																																																																																																																																																																																																																																																																																																																																																																																																																																																																																																																																																																																																																																																																						
Caurules materiāls, izmērs	PP DN315 SN8					PP DN315 SN8					PP DN250 SN8					PP DN200 SN8					PP DN200 SN8					PP DN200 SN8					PP DN200 SN8																																																																																																																																																																																																																																																																																																																																																																																																																																																																																																																																																																																																																																																																																																																																																																																																																																																																																																																																																																																																																																																																																																																																																																																																																																																																																																																																																																																																																																																																																																																																																																																																																																																																																																																																																																																																																																																																																																																																																																																																																																																																																																																																																																																																																																																																																																																																																																																																																																																																																																																																																																																																																																																																																																																																																																																																																																																																																																																																																																																																																																																																																																																																																																																																																																																																																																																																																																																																																																																																																																																																																																																																																																																																																																																																																																																																																																																																																																																																																																																																																																																																																																																																																																																																																																																																																																																																																																																																																																																																																																																																																																																																																																																																																																																																																																																																																																																																																																																																			
Pamatne	Izlīdzinošā kārtā - 150 mm sablīvēta smiltis										Izlīdzinošā kārtā - 150 mm sablīvēta smiltis																																																																																																																																																																																																																																																																																																																																																																																																																																																																																																																																																																																																																																																																																																																																																																																																																																																																																																																																																																																																																																																																																																																																																																																																																																																																																																																																																																																																																																																																																																																																																																																																																																																																																																																																																																																																																																																																																																																																																																																																																																																																																																																																																																																																																																																																																																																																																																																																																																																																																																																																																																																																																																																																																																																																																																																																																																																																																																																																																																																																																																																																																																																																																																																																																																																																																																																																																																																																																																																																																																																																																																																																																																																																																																																																																																																																																																																																																																																																																																																																																																																																																																																																																																																																																																																																																																																																																																																																																																																																																																																																																																																																																																																																																																																																																																																																																																																																																																																																																							
Slīpums	-0.3%										0.3%										0.4%										2.0%										-2.0%										2.0%										-2.0%										2.0%										-2.0%										2.0%																																																																																																																																																																																																																																																																																																																																																																																																																																																																																																																																																																																																																																																																																																																																																																																																																																																																																																																																																																																																																																																																																																																																																																																																																																																																																																																																																																																																																																																																																																																																																																																																																																																																																																																																																																																																																																																																																																																																																																																																																																																																																																																																																																																																																																																																																																																																																																																																																																																																																																																																																																																																																																																																																																																																																																																																																																																																																																																																																																																																																																																																																																																																																																																																																																																																																																																																																																																																																																																																																																																																																																																																																																																																																																																																																																																																																																																																																																																																																																																																																																																																																																																																																																																																																																																																																																																																																																																																																																																																																																																																																																																																																																																																																																																																																																																																																																																																							
Posma garums	64.9										73.4										50.1										9.5										0.9										5.3										0.9										4.4										0.9										4.4										0.9										4.4										0.9										4.4										0.9										4.4										0.9										4.4										0.9										4.4										0.9										4.4										0.9										4.4										0.9										4.4										0.9										4.4										0.9										4.4										0.9										4.4										0.9										4.4										0.9										4.4										0.9										4.4										0.9										4.4										0.9										4.4										0.9										4.4										0.9										4.4										0.9										4.4										0.9										4.4										0.9										4.4										0.9										4.4										0.9										4.4										0.9										4.4										0.9										4.4										0.9										4.4										0.9										4.4										0.9										4.4										0.9										4.4										0.9										4.4										0.9										4.4										0.9										4.4										0.9										4.4										0.9										4.4										0.9										4.4										0.9										4.4										0.9										4.4										0.9										4.4										0.9										4.4										0.9										4.4										0.9										4.4										0.9										4.4										0.9										4.4										0.9										4.4										0.9										4.4										0.9										4.4										0.9										4.4										0.9										4.4										0.9										4.4										0.9										4.4										0.9										4.4										0.9										4.4										0.9										4.4										0.9										4.4										0.9										4.4										0.9										4.4										0.9										4.4										0.9										4.4										0.9										4.4										0.9										4.4										0.9										4.4										0.9										4.4										0.9										4.4										0.9										4.4										0.9										4.4										0.9										4.4										0.9										4.4										0.9										4.4										0.9										4.4										0.9										4.4										0.9										4.4										0.9										4.4										0.9										4.4										0.9										4.4										0.9										4.4										0.9										4.4										0.9										4.4										0.9										4.4										0.9										4.4										0.9										4.4										0.9										4.4										0.9										4.4										0.9										4.4										0.9										4.4										0.9										4.4										0.9										4.4										0.9										4.4										0.9										4.4										0.9										4.4										0.9										4.4										0.9										4.4										0.9										4.4										0.9										4.4										0.9										4.4										0.9										4.4										0.9										4.4										0.9										4.4										0.9										4.4										0.9										4.4										0.9										4.4										0.9										4.4										0.9										4.4										0.9										4.4										0.9										4.4										0.9										4.4										0.9										4.4										0.9										4.4										0.9										4.4										0.9										4.4										0.9										4.4										0.9										4.4										0.9										4.4										0.9										4.4										0.9										4.4										0.9										4.4										0.9										4.4										0.9										4.4										0.9										4.4										0.9										4.4										0.9										4.4										0.9										4.4										0.9										4.4										0.9										4.4										0.9										4.4										0.9										4.4										0.9										4.4										0.9										4.4										0.9										4.4										0.9										4.4										0.9										4.4										0.9										4.4										0.9										4.4										0.9										4.4										0.9										4.4										0.9										4.4										0.9										4.4										0.9										4.4										0.9										4.4										0.9										4.4										0.9										4.4										0.9										4.4										0.9										4.4										0.9										4.4										0.9										4.4										0.9										4.4										0.9										4.4										0.9										4.4										0.9										4.4										0.9										4.4										0.9										4.4										0.9										4.4										0.9										4.4										0.9										4.4										0.9										4.4										0.9										4.4										0.9										4.4										0.9										4.4										0.9										4.4										0.9										4.4										0.9										4.4										0.9										4.4										0.9										4.4										0.9										4.4										0.9										4.4										0.9										4.4										0.9										4.4										0.9										4.4										0.9										4.4										0.9										4.4										0.9										4.4										0.9										4.4										0.9										4.4										0.9										4.4										0.9										4.4										0.9										4.4										0.9										4.4										0.9										4.4										0.9										4.4										0.9										4.4										0.9										4.4										0.9										4.4										0.9										4.4										0.9										4.4										0.9										4.4										0.9										4.4										0.9										4.4										0.9										4.4										0.9										4.4										0.9										4.4										0.9										4.4										0.9										4.4										0.9										4.4										0.9										4.4										0.9										4.4										0.9										4.4										0.9										4.4										0.9										4.4										0.9										4.4										0.9										4.4										0.9										4.4										0.9										4.4										0.9										4.4										0.9										4.4										0.9										4.4										0.9										4.4										0.9										4.4										0.9										4.4										0.9										4.4										0.9										4.4										0.9										4.4										0.9										4.4										0.9										4.4										0.9										4.4										0.9										4.4										0.9										4.4										0.9										4.4										0.9										4.4										0.9										4.4										0.9										4.4										0.9										4.4										0.9										4.4										0.9										4.4										0.9										4.4										0.9										4.4										0.9										4.4										0.9										4.4										0.9										4.4										0.9										4.4										0.9										4.4										0.9										4.4										0.9										4.4										0.9										4.4										0.9										4.4										0.9									

PIEZĪMES:
1) " x " dotie dati jāprecizē pirms būvdarbu uzsākšanas
2) pieņemtais esošo komunikāciju iebūves dziļums (no zemes virsmas):
kabeļi - 0.8-1.1m
ūdensvads - 1.8m
3) Pirms būvdarbu uzsākšanas precizēt pārliekamā ūdensvada iebūves dziļumu.
4) Ģeoloģisko urbumu dati uzrādīti 1. sējumā ģeotehniskās izpētes sadaļā.

					4.
					3.
					2.
					1.
Izstrādāja	Pārbaudīja	Apstiprināja	Datums	Izmaiņu saturs	Izmaiņu Nr.
Projektētājs	Pasūtītājs			LĪVĀNU NOVADA DOME	Pasūtītājs Nr.LND/5-44.3/12/493
Būvprojekta sadaļas vadītājs		Būvprojekts			
Izstrādāja		Dzelzceļa ielas (posmā no Rīgas ielas līdz Dzelzceļa ielai 21) un Rūpniecības ielas rekonstrukcija, Līvānos, Līvānu novadā			
Pārbaudīja	Vārds, uzvārds	Paraksts	Datums	Rasējums	Stādija numurs
	A.Gaile		19.04.2013.	GARENPROFILS AKAS K2-18 LĪDZ K2-23 (Dzelzceļa iela pie Lācplēša ielas)	TP
	A.Reke		19.04.2013.		LKT-5
	A.Gaile		19.04.2013.		Mērogs 1:500/1:100
					Arhīva Nr.